



### LEGENDA

**UNITÀ IDROGEOLOGICHE**

- DEFOSITI A PERMEABILITÀ BASSA**  
Complesso caratterizzato da coefficiente di permeabilità  $k$  trascurabile.
- DEFOSITI A PERMEABILITÀ VARIABILE**  
Complesso sabbioso siliceo-argilloso che presenta caratteri di permeabilità estremamente vari. Coefficiente di permeabilità  $k$  variabile tra 6-10-4 e 1.5-10-6 m/s.
- ROCCHE A PERMEABILITÀ MEDIO-ALTA**  
Rocce caratterizzate da potenziale di circolazione idrica per fratturazione e carsismo. Coefficiente di permeabilità  $k$  da medio ad alto.

**SIMBOLOGIA PLANIMETRIA**

- Cono d'acqua
- Contatto stratigrafico (a tratteggio dorsale)
- Asse linea F.S. Barletta-Canosa

**SIMBOLOGIA PROFILO**

- Diretto falda interpenetrata
- Plano di campagna
- Unità stratigrafici (a tratteggio) limiti desunti
- Contatto erosivo (a tratteggio desunti)
- Faglia (a tratteggio desunti)
- Sondaggi
- Diretto falda

**INDAGINI GEOGNOSTICHE**

**Indagini Italferr 2020 - sondaggi e geofisica**

- Prova sismica tipo M.A.S.W. 1D - HVSR
- Prova sismica tipo M.A.S.W. 2D
- Tomografia di resistività elettrica (ERT)
- Sondaggio stratigrafico a carotaggio continuo
- Prova piezometrica statica\*
- Prova piezometrica dinamica\*

**Indagini RFI 2020 - sondaggi e geofisica**

- Sondaggio stratigrafico a carotaggio continuo
- Prova sismica tipo M.A.S.W. - Re.M.
- Tomografia di resistività elettrica (ERT)

**Indagini Italferr - PRA Barletta 2018**

- Prova sismica tipo Mase
- Sismica a rifrazione
- ERT Tomografia Elettrica
- Sondaggio stratigrafico a carotaggio continuo (linea Barletta-Ferraro)

**Indagini pregresse (ISPRA)**

- Sondaggio stratigrafico a carotaggio continuo

**ELEMENTI DI GEOMORFOLOGIA**

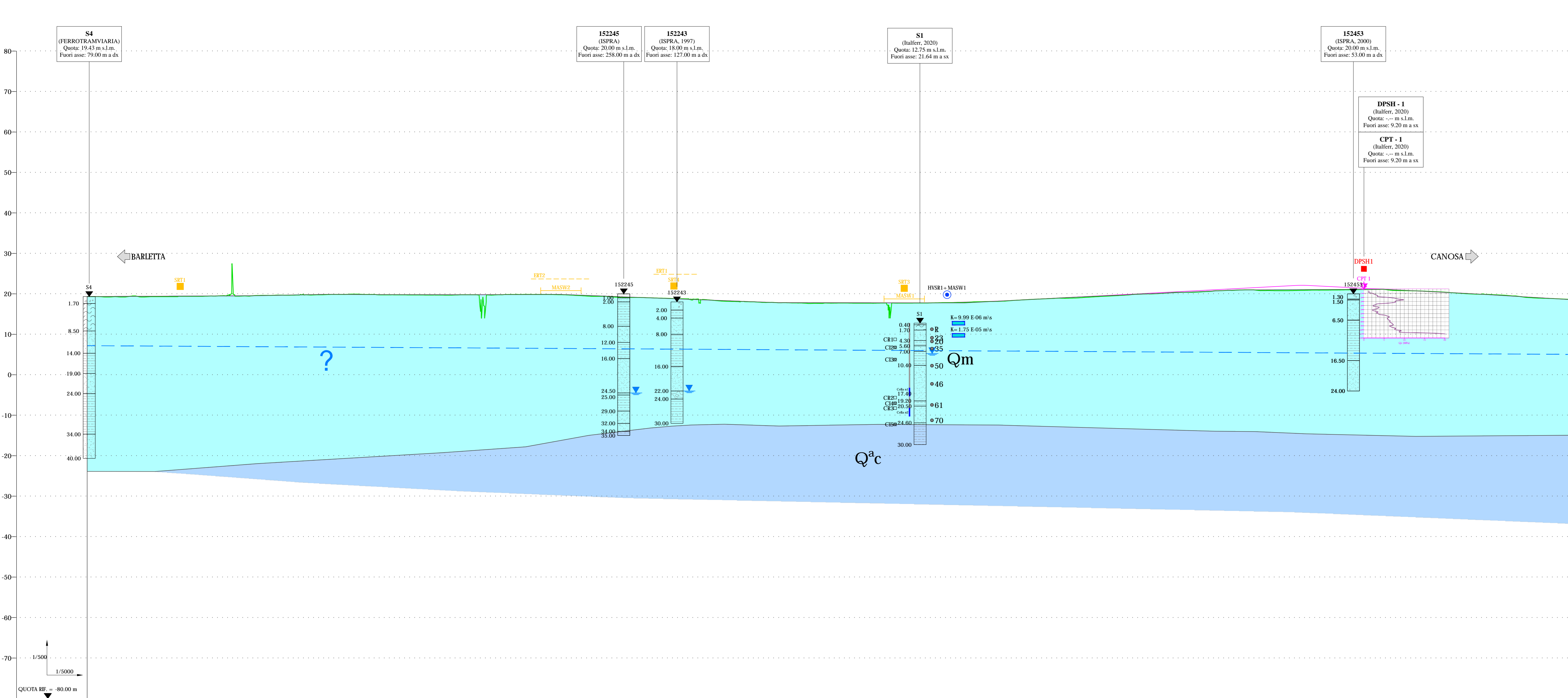
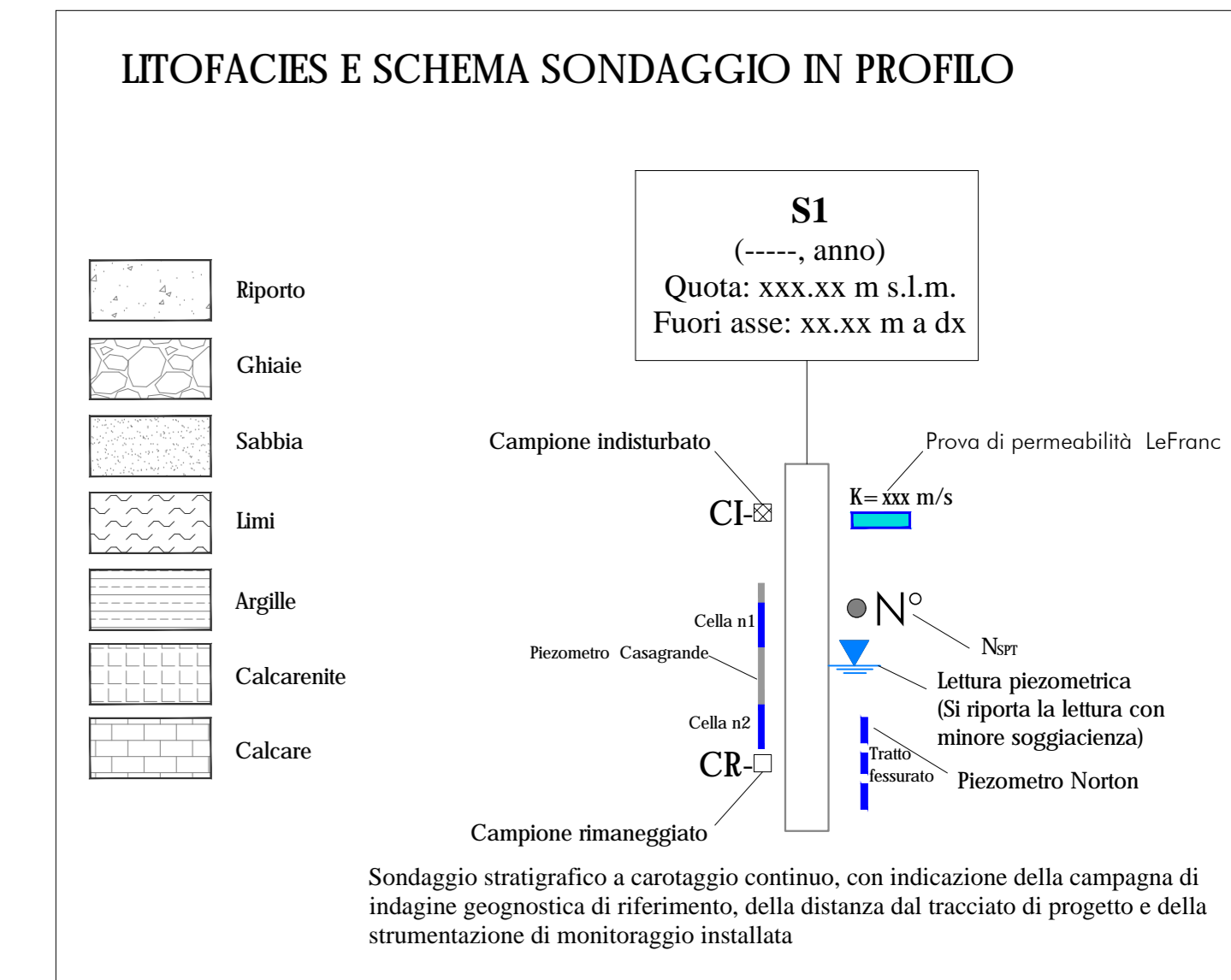
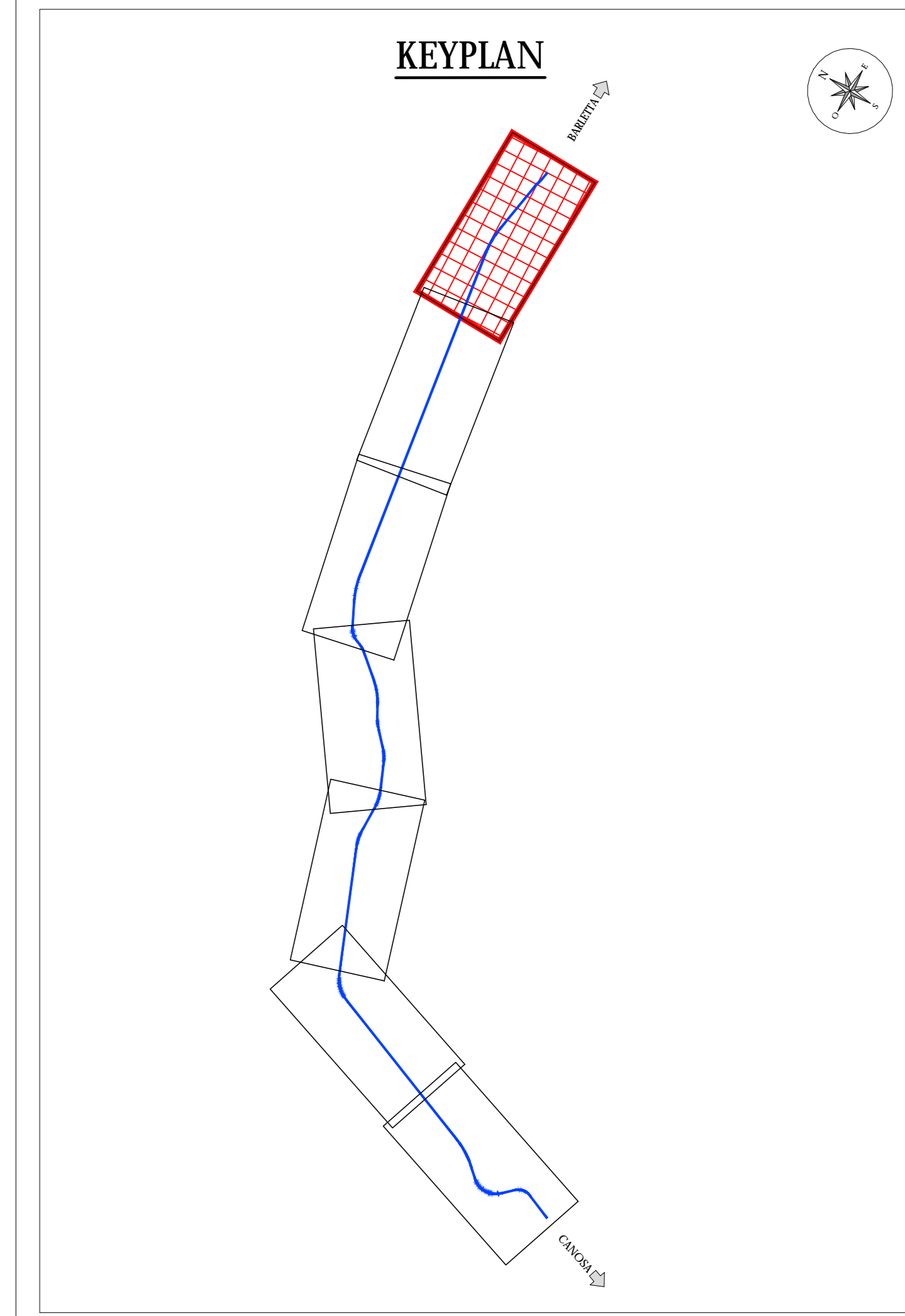
**Forme, processi e depositi dovuti alle acque correnti superficiali**

- Alveo con erosione laterale o sponda in erosione
- Chiuso di scarpata di erosione fruttale o torrentella incisa
- Chiuso di scarpata di erosione fruttale o torrentella entro

**Forme, processi e depositi gravitativi**

- Deformazione superficiale lenta altro

\*Nota: per motivi grafici non è stato possibile riportare il grafico della DPSH poiché ricade nelle immediate vicinanze delle prove CPT, pertanto si rimanda all'allegato della Relazione Geologica. La stratigrafia è stata comunque volutamente anche considerando la DPSH.



| DISTANZE PROGRESSIVE | QUOTE TERRENO | QUOTE PROGETTO |
|----------------------|---------------|----------------|
| 18.3257              | 18.3257       | 18.3257        |
| 18.3258              | 18.3258       | 18.3258        |
| 18.3259              | 18.3259       | 18.3259        |
| 18.3260              | 18.3260       | 18.3260        |
| 18.3261              | 18.3261       | 18.3261        |
| 18.3262              | 18.3262       | 18.3262        |
| 18.3263              | 18.3263       | 18.3263        |
| 18.3264              | 18.3264       | 18.3264        |
| 18.3265              | 18.3265       | 18.3265        |
| 18.3266              | 18.3266       | 18.3266        |
| 18.3267              | 18.3267       | 18.3267        |
| 18.3268              | 18.3268       | 18.3268        |
| 18.3269              | 18.3269       | 18.3269        |
| 18.3270              | 18.3270       | 18.3270        |
| 18.3271              | 18.3271       | 18.3271        |
| 18.3272              | 18.3272       | 18.3272        |
| 18.3273              | 18.3273       | 18.3273        |
| 18.3274              | 18.3274       | 18.3274        |
| 18.3275              | 18.3275       | 18.3275        |
| 18.3276              | 18.3276       | 18.3276        |
| 18.3277              | 18.3277       | 18.3277        |
| 18.3278              | 18.3278       | 18.3278        |
| 18.3279              | 18.3279       | 18.3279        |
| 18.3280              | 18.3280       | 18.3280        |
| 18.3281              | 18.3281       | 18.3281        |
| 18.3282              | 18.3282       | 18.3282        |
| 18.3283              | 18.3283       | 18.3283        |
| 18.3284              | 18.3284       | 18.3284        |
| 18.3285              | 18.3285       | 18.3285        |
| 18.3286              | 18.3286       | 18.3286        |
| 18.3287              | 18.3287       | 18.3287        |
| 18.3288              | 18.3288       | 18.3288        |
| 18.3289              | 18.3289       | 18.3289        |
| 18.3290              | 18.3290       | 18.3290        |
| 18.3291              | 18.3291       | 18.3291        |
| 18.3292              | 18.3292       | 18.3292        |
| 18.3293              | 18.3293       | 18.3293        |
| 18.3294              | 18.3294       | 18.3294        |
| 18.3295              | 18.3295       | 18.3295        |
| 18.3296              | 18.3296       | 18.3296        |
| 18.3297              | 18.3297       | 18.3297        |
| 18.3298              | 18.3298       | 18.3298        |
| 18.3299              | 18.3299       | 18.3299        |
| 18.3300              | 18.3300       | 18.3300        |

COMMITTENTE: **RFI RETE FERROVIARIA ITALIANA GRUPPO FERROVIE DELLO STATO ITALIANE**

PROGETTAZIONE: **ITALFERR**

U.O. GEOLOGIA TECNICA, DELL'AMBIENTE E DEL TERRITORIO

PROGETTO FATTIBILITA' TECNICA ECONOMICA

POTENZIAMENTO ED ELETTRIFICAZIONE DELLA LINEA BARLETTA - CANOSA DI PUGLIA

Carta dei complessi idrogeologici e profilo idrogeologico - Tav.1 di 7

SCALA: 1:5000

| Rev. | Descrizione         | Redatto     | Data        | Verificato    | Data        | Approvato   | Data        | Autorizzato Data |
|------|---------------------|-------------|-------------|---------------|-------------|-------------|-------------|------------------|
| A    | Emissione esecutiva | D. Balocchi | Giugno 2020 | F. Pignatelli | Giugno 2020 | M. Corbelli | Giugno 2020 | Giugno 2020      |

File: IMC0010R3ZCE00020101A n. Ebb.: 1